

Рис. 4. Изменение избыточной безразмерной температуры T^* вдоль оси координат 0y при X=0 для различных значений критерия Био при D_u =2

Графики на **рис. 4** демонстрируют влияние теплоотдачи на распределение температуры при указанных исходных данных. Здесь видно, что с увеличением критерия Био температура убывает.

Таким образом, в настоящей работе решена граничная стационарная задача теплопроводности для изотропной полосы с инородным включением прямоугольной формы, на одной из границ которой осу-

ществляется конвективный теплообмен с внешней средой, а другая нагревается тепловым потоком.

ИСПОЛЬЗОВАННЫЕ ИСТОЧНИКИ

1. Беляев Н. В., Рядно А. А. Методы теории теплопроводности. Ч. І.— М.: Высш. шк., 1982. [Belyaev N. V., Ryadno A. A. Metody teorii teploprovodnosti. Ch. I. Moscow. Vyssh. shk. 1982]

Metody teorii teploprovodnosti. Ch. I. Moscow. vyssn. sirk. 1982]
2. Саврук М. П., Зеленяк В. М. Двовимірні задачі термопружності для кусково-однорідних тіл з тріщинами: монографія.

Львів: Растр-7, 2009. [Savruk M. P., Zelenyak V. M. Dvovimirni zadachi termopruzhnosti dlya kuskovo-odnoridnikh til z trishchinami: monografiya. L'viv. Rastr-7. 2009]

3. Подстритач Я. С., Ломакин В. А., Коляно Ю. М. Термоуп

3. Подстригач Я. С., Ломакин В. А., Коляно Ю. М. Термоупругость тел неоднородной структуры.— М.: Наука, 1984. [Podstrigach YA. S., Lomakin V. A., Kolyano Yu. M. Termouprugost' tel neodnorodnoi struktury. Moscow. Nauka. 1984]

4. Коляно Ю. М. Методы теплопроводности и термоупругости неоднородного тела.— Киев: Наукова думка, 1992. [Kolyano Yu. M. Metody teploprovodnosti i termouprugosti neodnorodnogo tela. Kiev. Naukova dumka. 1992]

5. Корн Т., Корн Т. Справочник по математике для научных работников и инженеров. М.: Наука, 1977. [Korn G., Korn T. Spravochnik po matematike dlya nauchnykh rabotnikov i inzhenerov. Moscow. Nauka. 1977]

6. Коляно Ю. М., Кричевец Ю. М., Гаврыш В. И. Уравнение теплопроводности для элементов микроэлектроники.— Часть II // Радиоэлектронное материаловедение.— Львов, 1989.— С. 175—183. [Kolyano Yu. M., Krichevets Yu. M., Gavrysh V. I. Uravnenie teploprovodnosti dlya elementov mikroelektroniki. Chast' II // Radioelektronnoe materialovedenie. L'vov. 1989. P. 175

K. m. H. $\Gamma.$ H. UUЛО, E. B. $OГРЕНИЧ, <math>\kappa.$ m. H. H. $\Pi.$ $\Gamma A\Pi OHEHKO$

Украина, Запорожский национальный технический университет E-mail: gshilo@zntu.edu.ua, chipmob@gmail.com

Дата поступления в редакцию 19.07 20010 г. Оппонент к. т. н. В. Е. ТРОФИМОВ (ОНПУ. г. Одесса)

ПРОЕКТИРОВАНИЕ РАДИАТОРОВ С ОПТИМАЛЬНЫМИ МАССОГАБАРИТНЫМИ ПАРАМЕТРАМИ

Предложенный метод может использоваться для проектирования любых ребристых радиаторов и приводит к снижению массы более чем в 2,5 раза при увеличении объема в 1,5 раза.

Мощные полупроводниковые приборы, которые широко применяются в преобразовательной технике и в выходных каскадах систем управления, имеют ограниченную допустимую температуру *p*—*n*-переходов [1]. Обычно эти приборы очень компактны и имеют высокое тепловое сопротивление между корпусом прибора и окружающей средой. Для обеспечения их теплового режима при значительных уровнях мощности разработчики радиоаппаратуры обычно используют радиаторы. Существует большое количество радиаторов [2, 3], отличающихся типом оребрения (ребристые, штыревые, проволочные, гофрированные) и формой основания (пластина, цилиндр).

В [4] показано, что при оптимальном распределении температуры вдоль теплоотводящих элементов радиаторов возможно значительное уменьшение их массы и габаритов. Возможность уменьшения массы и объема ребристых радиаторов показана в [5, 6], однако оптимизация проводилась при заданной толщи-

не ребер и, кроме того, в использованных моделях не учитывался трехмерный характер температурного поля в основании радиатора. При расчете тепловых режимов радиаторов использовались граничные условия 3-го рода и приближенные соотношения для коэффициентов теплоотдачи.

Существенное увеличение точности расчетов можно получить при использовании средств инженерного проектирования [7—9], позволяющих моделировать распределение температуры в сложных конструкциях устройств различного применения. В сочетании с алгоритмами оптимизации это открывает путь к разработке методов проектирования радиаторов, учитывающих любые конструктивные и технологические ограничения.

Целью настоящей работы является разработка методов проектирования ребристых радиаторов с оптимальными массогабаритными параметрами на основе использования средств инженерного проектирования.

Тепловая модель ребристого радиатора

Построение модели радиатора в среде инженерного проектирования делится на этапы:

- создание трехмерной модели твердого тела по заданным размерам;
- задание теплофизических параметров материала радиатора и параметров теплоносителя;

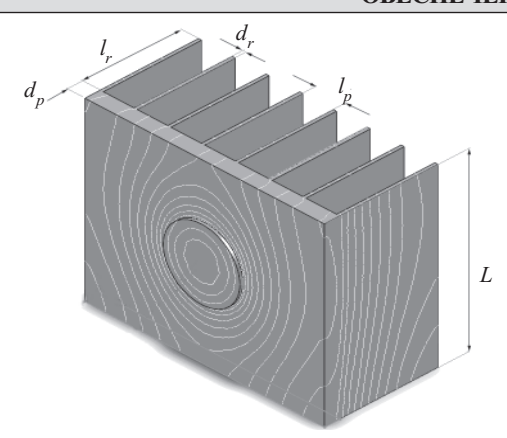


Рис. 1. Тепловая модель ребристого радиатора: d_{n} — толщина основания; L — ширина радиатора

- определение границ области решения задачи, задание начальных и граничных условий;
- построение и оптимизация расчетной сетки в пределах области решения задачи [7, с. 386—391].

При построении модели приняты следующие допущения:

- не учитывается шероховатость поверхности радиатора;
- размеры межреберных участков, толщина и длина всех ребер одинаковы;
- в области контакта основания полупроводникового прибора и радиатора тепловой поток постоянен;
- коэффициент теплопроводности материала радиатора не зависит от температуры.

Тепловая модель ребристого радиатора, построенная с учетом принятых допущений, показана на **рис. 1**. (Моделирование проводилось в среде Siemens NX, модуль NX. Электронные системы охлаждения. Построенная модель позволяла учесть трехмерный характер температурного поля, что отражено на рисунке. Здесь белыми линиями показаны изотермы, черной — область контакта полупроводникового прибора и основания радиатора.)

Для решения поставленной оптимизационной задачи необходима математическая модель зависимости теплового сопротивления $R_{\scriptscriptstyle \rm T}$ радиатора от размеров его элементов. Для ее создания исследовалась зависимость между длиной межреберного участка и толщиной основания радиатора при заданных значениях остальных размеров и величины теплового сопротивления. График такой зависимости показан на рис. 2, где заштрихована область работоспособно-

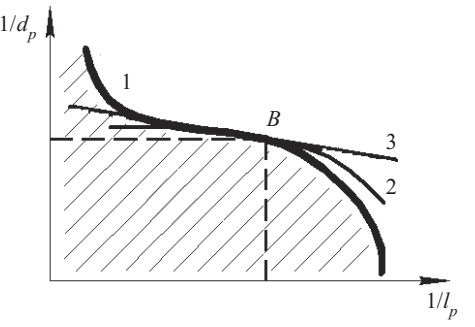


Рис. 2. Формирование области работоспособности

сти, в которой обеспечивается необходимый тепловой режим источника тепла.

Искомая математическая модель при аппроксимации границ области работоспособности 1 эллипсоидом 2 в граничной точке B имеет вид

$$R_{\rm T} = \sum_{i=1}^{5} c_i x_i^2,\tag{1}$$

где
$$c_j$$
 — коэффициенты; $x_1 = 1/d_p; \ x_2 = 1/l_p; \ x_3 = 1/d_r; \ x_4 = 1/l_r; \ x_5 = 1/L.$

Коэффициенты модели c_i находились из условия тождества касательных гиперплоскостей к гиперповерхностям области работоспособности и модели (1). Уравнение касательной гиперплоскости к границам области работоспособности (касательная 3 на рис. 2) может быть записано в виде

$$R_{\rm T} = a_0 + \sum_{i=1}^{5} a_i x_i,\tag{2}$$

где
$$a_0 = R_{rb} - \sum_{i=1}^5 a_i x_{bi};$$

 a_i — линейные коэффициенты разложения функции $R_{_{
m T}}$ в ряд Тейлора, $a_i = \frac{\partial R_{_{
m T}}}{\partial x_i} \Big|_{X_b}$; X_{bi} — координаты граничной точки области работо-

способности, $X_{bi} = \{x_{bl}, ..., x_{bn}\};$

 $R_{\mathrm{T}b}$ — гранично-допустимое входное тепловое сопротивление радиатора.

Коэффициенты a_i находятся численным дифференцированием в процессе моделирования с помощью средств инженерного проектирования. Сравнение выражений (1) и (2) позволяет установить связь между коэффициентами a_i и c_i :

$$c_i = \frac{R_{\rm T}}{R_{\rm T} - a_0} \frac{a_i}{x_{bi}}. (3)$$

Полученные соотношения позволяют однозначно установить коэффициенты эллипсоидной модели и могут использоваться при оптимизации размеров элементов конструкций радиатора с учетом стратегий оптимизации.

Оптимизация массогабаритных параметров радиаторов

Оптимизацию массогабаритных параметров ребристых радиаторов обычно проводят по стратегиям минимизации массы (М-стратегия) и минимизации объема (V-стратегия). M-стратегия может интерпретироваться как стратегия минимальной стоимости, поскольку она определяет расход материала. V-стратегию можно использовать для оценки качества теплоотвода, если считать, что качество теплоотвода обратно пропорционально объему. Оптимальное соотношение цена/качество можно определять, используя массогабаритный показатель в виде произведения массы радиатора на его объем (*MV*-стратегия).

Целевая функция М-стратегии оптимизации радиатора имеет вид

$$m = \rho L[(n-1)d_p l_p + nd_r l_r + nd_p d_r] \rightarrow \min,$$

где ρ — плотность материала радиатора;

n — количество ребер.

С учетом модели (1) целевая функция приобрета-

$$m = \rho \frac{1}{x_5} \left(\frac{n-1}{x_1 x_2} + \frac{n}{x_3 x_4} + \frac{n}{x_1 x_3} \right) \to \text{max}.$$
 (4)

Оптимизационную задачу решаем при ограничении

$$R_{\mathrm{T}} \le R_{\mathrm{T}b} \,. \tag{5}$$

Решение оптимизационной задачи проводится методом множителей Лагранжа. Необходимость использования при этом выражений (4) приводит к сложной системе нелинейных уравнений. Для упрощения процедуры оптимизации используется гиперболическая модель весовой функции

$$G_a(x) = \sum_{i=1}^{5} \frac{g_i}{x_i}.$$
 (6)

Входящие в это выражение коэффициенты g_i определяются из условия параллельности касательных гиперплоскостей к гиперповерхностям (4) и (6)

$$b_i = \frac{\partial m}{\partial x}\Big|_{X_b}$$
, $g_i = -b_i x_{bi}^2$,

где b_i — линейные коэффициенты разложения функции (4) в ряд Тейлора.

Вспомогательная функция в методе множителей Лагранжа для М-стратегии записывается в виде

$$L(\lambda) = \sum_{i=1}^{5} \frac{g_i}{x_i} + \lambda \sum_{i=1}^{5} c_i x_i^2.$$
 Оптимальное значение параметров достигается при

$$\frac{\partial L(\lambda)}{\partial x} = 0, \quad i = \overline{1, n}.$$

В результате составляются уравнения вида

$$-\frac{g_i}{x_i^2} + 2\lambda c_i x_i = 0, \quad i = \overline{1, n}.$$
 (8)

Решение системы уравнений (1) и (8) приводит к оптимальным при M-стратегии параметрам радиатора:

$$x_{i} = \sqrt[3]{\frac{g_{i}}{c_{i}}} \cdot \sqrt{R_{rb} / \sum_{i=1}^{5} \sqrt[3]{c_{i} \cdot g_{i}^{2}}}, \quad i = \overline{1, n}.$$
 (9)

Целевая функция V-стратегии оптимизации радиатора имеет вид

$$V = L(l_r + d_p)(d_r n + l_p(n-1)) \rightarrow \min$$

 $V = L(l_r + d_p)(d_r n + l_p(n - 1)) \to \min.$ Используя преобразования (6)—(8), можно также прийти к выражению (9). Это позволяет использовать в процедурах оптимизации массы и объема одинаковые оптимизационные соотношения. Отличаются эти процедуры только выражением для целевой

Целевая функция MV-стратегии содержит произведение массы и объема радиатора, что повышает показатели степени переменных. Это учитывается в модели весовой функции

$$G_a(x) = \sum_{i=1}^{5} \frac{g_i}{x_i^2},\tag{10}$$

где $g_i^= -0.5 b_i x_{bi}^3$; b_i — линейные коэффициенты разложения произведения функций m и V в ряд Тейлора.

Тогда оптимальные размеры элементов конструкции радиатора в MV-стратегии устанавливаются соотношениями

$$x_i = \sqrt[4]{\frac{g_i}{c_i}} \cdot \sqrt{R_{\tau b} / \sum_{i=1}^5 \sqrt{c_i \cdot g_i}}, \quad i = \overline{1, n}.$$
 (11)

Размеры, определенные с помощью соотношений (9) и (11), зависят от положения граничной точки области работоспособности. Поэтому оптимальные значения размеров радиатора определяются по следующему итерационному алгоритму.

Шаг 1. Определяются начальные размеры радиатора. Используются известные процедуры выбора и расчета радиаторов (например, [2]).

Шаг 2. Определяются параметры моделей (1), (2) и (6) или (10).

Шаг 3. Определяются оптимальные значения размеров элементов конструкции радиаторов с использованием выражений (9) или (11).

Шаг 4. Проверяется условие

$$\left| \frac{R_{\scriptscriptstyle \mathrm{T}}^{(i)} - R_{\scriptscriptstyle \mathrm{T}b}}{R_{\scriptscriptstyle \mathrm{T}b}} \right| \leq \varepsilon,$$

где ϵ — заданная погрешность вычислений. Если условие не выполняется, то — переход на шаг 2. Иначе конец алгоритма.

Предложенный алгоритм позволяет проектировать ребристые радиаторы с одинаковыми размерами однотипных элементов конструкции. Такие радиаторы используются для упрощения технологического процесса их изготовления. При этом разработанный алгоритм является универсальным в том смысле, что могут быть сняты или введены ограничения на любые размеры элементов конструкции. При этом изменяется только количество переменных n. Алгоритм может использоваться и при проектировании других типов радиаторов, например пластинчато-штыревых и радиаторов с цилиндрическми ребрами. Особенности этих радиаторов учитываются в выражениях для весовых функций.

Применение метода

Особенность применения метода рассмотрим на примере ребристого радиатора из алюминиевого сплава Ад2 с допустимым входным тепловым сопротивлением R_{rb} =2,73 K/Bт для источника тепла диаметром 28 мм. Мощность источника P=13,3 Вт, температура окружающей среды t_c =40°C, коэффициент черноты поверхности радиатора ε=0,91. Радиатор расположен в воздушной среде при нормальном атмосферном давлении. Режим движения теплоноителя — свободная конвекция. В качестве начального приближения используем размеры стандартного радиатора. Рассмотрим M-, V- и MV-стратегии.

Предложенный алгоритм отличается высокой эффективностью, обеспечивая сходимость итерационного процесса за несколько итераций. Для оценки сходимости алгоритма может служить зависимость массы радиатора m от количества итераций k в М-стратегии, показанной на рис. 3. Из рисунка вид-

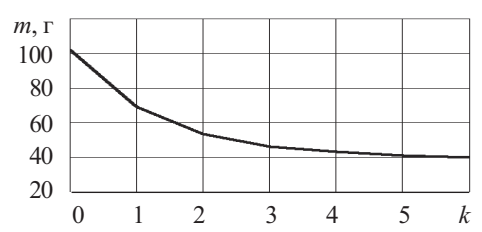


Рис. 3. Зависимость массы радиатора m от количества итераций k в M-стратегии

Стратегия:	Размеры радиатора, мм					Параметры радиатора		
	d_p	l_p	d_r	l_r	L	т, г	<i>V</i> , см ³	mV , г \cdot дм ³
M	1,4	9,6	0,27	59,9	66,2	39,7	281,5	11,2
V	5,1	7,9	1,1	34,3	64,2	106,9	162,1	17,3
MV	1,7	10	0,35	55,7	58,7	43,5	245,3	10,7
Серийный радиатор	5	9	1	32	63	102	165,5	16,9

но, что уже при 5—7 итерациях процесс оптимизации может быть завершен.

Оптимальные размеры элементов конструкции и массогабаритные показатели радиатора, полученные при применении различных стратегий, а также стандартного радиатора представлены в таблице.

Как видно из таблицы, от выбора стратегии существенно зависят и размеры ребер и участков основания, и массогабаритные характеристики радиатора. По сравнению со стандартным радиатором M-стратегия проектирования приводила к уменьшению толщины основания и ребер более чем в 3 раза. При этом увеличивалась длина ребер и участков основания. Подобным образом изменялись размеры и при MV-стратегии. Размеры радиаторов в V-стратегии мало отличались от размеров стандартного.

Как и следовало ожидать, наименьшую массу обеспечивает M-стратегия проектирования: по сравнению со стандартным радиатором, масса уменьшилась в 2,5 раза. При этом объем увеличился в 1,5 раза. К этим показателям приводит и MV-стратегия. При V-стратегии показатели незначительно лучше, чем у стандартного радиатора. Это означает, что стандартные радиаторы по своим параметрам близки к радиаторам минимально возможного объема.

В исследованном радиаторе размеры однотипных элементов конструкции принимались одинаковыми. Снятие этих ограничений позволит улучшить массогабаритные параметры на 20—30%. При этом количество переменных в алгоритме возрастет до 4*n*–1.

Предложенные метод и алгоритм при изменении выражений для целевой функции могут использоваться для проектирования любых радиаторов, в том чис-

ле пластинчато-шфтыревых и радиаторов с цилиндрическими ребрами.

ИСПОЛЬЗОВАННЫЕ ИСТОЧНИКИ

- 1. Полупроводниковые приборы. Транзисторы. Справочник / Под ред. В. М. Петухова.— М.: Радио и связь, 1993. [Poluprovodnikovye pribory. Tranzistory. Spravochnik / Pod red. V. M. Petukhova. Moscow. Radio i svyaz'. 1993]
- 2. Скрипников Ю. Ф. Радиаторы для полупроводниковых приборов.— М.: Энергия, 1973. Skripnikov Yu. F. Radiatory dlya poluprovodnikovykh priborov. Moscow. Energiya. 1973]
- 3. Роткоп Л. Л., Спокойный Ю. Е. Обеспечение тепловых режимов при конструировании радиоэлектронной аппаратуры.— М.: Сов. радио, 1976. [Rotkop L. L., Spokoinyi Yu. E. Obespechenie teplovykh rezhimov pri konstruirovanii radioelektronnoi apparatury. Moscow. Sov. radio. 1976]
- 4. Ройзен Л. И., Дулькин И. Н. Тепловой расчет оребренных поверхностей / Под. ред. В. Г. Фастовского. М.: Энергия, 1977. [Roizen L. I., Dul'kin I. N. Teplovoi raschet orebrennykh poverkhnostei / Pod. red. V. G. Fastovskogo. Moscow. Energiya 1977]
- 5. Цесарский И. Б., Мотин Э. А. Методика расчета пластинчатых радиаторов минимального веса для полупроводниковых приборов // Вопросы радиоэлектроники. Сер. ТРТО.— 1970.— Вып. 2.— С. 42—49. [Tsesarskii I. B., Motin E. A. // Voprosy radioelektroniki. Ser. TRTO. 1970. Iss. 2. P. 42]
- 6. Мотин Э. А. Цесарский И. Б. Методика расчета пластинчатых радиаторов минимального объема // Вопр. радиоэлектроники. Сер. ТРТО.— 1971.— Вып. 3.— С. 74—76. [Motin E. A. Tsesarskii I. B. // Vopr. radioelektroniki. Ser. TRTO. 1971. Iss. 3. P. 74]
- 7. Алямовский А. А. Инженерные расчеты в SolidWorks Simulation.— М.: ДМК Пресс, 2010. [Alyamovskii A. A. Inzhenernye raschety v SolidWorks Simulation. Moscow. DMK Press. 2010]
- 8. Каплун А. Б., Морозов Е. М., Олферьева М. А. ANŚYS в руках инженера: Практическое руководство.— М.: Едиториал УРСС, 2003. [Kaplun A. B., Morozov E. M., Olfer'eva M. A. A№SYS v rukakh inzhenera: Prakticheskoe rukovodstvo. Moscow. Editorial URSS, 2003]
- 9. Гончаров П. С., Ельцов М. Ю., Корщиков С. Б. и др. NX для конструктора-машиностроителя. М.: ДМК Пресс, 2010. [Goncharov P. S., El'tsov M. Yu., Korshchikov S. B. i dr. №X dlya konstruktora-mashinostroitelya. Moscow. DMK Press. 2010]

новые книги

новые книги

Мелешин В. И., Овчинников Д. А. Управление транзисторными преобразователями электроэнергии.— М.: Техносфера, 2011.— 576 с.

В книге изложены принципы управления транзисторными преобразователями электрической энергии при их работе в различных импульсных режимах. Приведены схемотехнические решения и показаны особенности работы преобразователей, широко применяемых в различных системах электропитания. Показаны последние достижения в данной области техники, позволяющие управлять преобразователями с помощью как аналоговых, так и цифровых средств. Большое внимание уделено построению систем управления, использующих различные типы контроллеров и микроконтроллеров. Показано применение DSP-процессоров для различного рода преобразователей и приложений. Рассмотрено построение некоторых систем электропитания высокой надежности.



Книга будет полезна студентам, изучающим силовую электронику и принципы управления преобразователями, а также аспирантам и специалистам, изучающим и разрабатывающим устройства и системы преобразовательной техники.